

*ITU-R P.1817 التوصية

بيانات الانتشار اللازمة لتصميم الوصلات البصرية للأرض في الفضاء الحر

(المسألة 228/3)

(2007)

مجال التطبيق

توفر هذه التوصية بيانات الانتشار اللازمة لتصميم الوصلات البصرية في الفضاء الحر (FSO) وتحطيط الأنظمة البصرية في الفضاء الحر، في مدى صلاحيتها الخاص المحدد في هذه التوصية.

إن جمعية الاتصالات الراديوية للاتحاد الدولي للاتصالات،

إذ تضع في اعتبارها

أ) أن الطيف البصري المرئي للأشعة دون الحمراء متاح للاتصالات الراديوية في بيانات الأرض؛

ب) أن من الضروري الحصول على بيانات انتشار مناسبة للتخطيط الجيد لأنظمة الاتصالات الراديوية البصرية في الفضاء الحر العاملة في الطيف البصري المرئي للأشعة دون الحمراء؛

ج) أنه تم تطوير أساليب تسمح بمحاسب أكثر معلمات الانتشار أهمية المطلوبة في تحطيط الأنظمة البصرية في الفضاء الحر والعاملة في الطيف البصري المرئي للأشعة دون الحمراء؛

د) أنه تم، قدر المستطاع، اختبار هذه الأساليب مقارنة بالبيانات المتاحة وأظهرت أنها تقدم دقة متسقة مع التغيرية الطبيعية لظاهرة الانتشار ومناسبة لمعظم التطبيقات الحالية بالنسبة إلى تحطيط الأنظمة العاملة في الطيف البصري المرئي للأشعة دون الحمراء،

وإذ تعترف

أ) بالرقم 78 من المادة 12 في دستور الاتحاد الذي ينص على أن وظيفة قطاع الاتصالات الراديوية تتضمن "... بإجراء دراسات من دون تحديد لمدى الترددات وباعتماد توصيات..."،

توصي

1 أنه ينبغي اعتماد أساليب التنبؤ بمعلمات الانتشار الواردة في الملحق 1 بالنسبة إلى الأنظمة البصرية في الفضاء الحر، في مدى صلاحيتها الخاصة المحدد في الملحق.

الملاحظة 1 - يمكن الحصول على معلومات إضافية تتعلق بأساليب التنبؤ الانتشار للترددات في الطيف البصري المرئي للأشعة دون الحمراء في توصية قطاع الاتصالات الراديوية المعنية بأساليب التنبؤ المطلوبة لتصميم الوصلات البصرية للأرض في الفضاء الحر.

* ينبغي أن ترفع هذه التوصية إلى عناية لجئي الدراسات 1 و 9 للاتصالات الراديوية.

الملاحق 1

1 الاعتبارات الجوية

تعرض الوصلات البصرية في الفضاء الحر للإعاقة بسبب الامتصاص وانتشار الضوء بسبب جو الأرض. ويتفاعل الجو مع الضوء بسبب تركيبة الجو التي تتكون عادةً من مجموعة من مختلف الأصناف الجزئية والجسيمات الصغيرة العالقة التي تُعرف بالأهباء. ويتجزء عن هذا التفاعل طائفة واسعة من الظواهر منها الامتصاص الانتقائي للترددات والانتشار والتلااؤ.

- ينتج الامتصاص الانتقائي للترددات، عند أطوال موجات بصرية محددة، عن التفاعل بين الفوتونات والذرات أو الجزيئات، مما يؤدي إلى انبعاث الفوتونات الواردة وارتفاع درجة الحرارة والبث الإشعاعي.
- ينتج الانتشار الجوي عن التفاعل بين الفوتونات والذرات والجزيئات في وسط الانتشار. ويسبب الانتشار في إعادة توزيع الإشعاع مع تغيير طول الموجة أو بدونه.
- ينتج التلااؤ عن الاضطراب الحراري داخل وسط الانتشار الذي ينتج عن خلايا موزعة عشوائياً. ولهذه الخلايا أحجام مختلفة (من 10 سنتيمترات إلى كيلومتر واحد) ودرجات حرارة وأدلة انكسارية تتسبب في الانتشار وتعدد المسيرات وتفاوت زوايا الوصول. ونتيجة لذلك، يتقلب اتساع الإشارة المستقبلة عند ترددات تتراوح بين 0,01 و 200 Hz. ويسبب التلااؤ كذلك في تشهُّد مقدمة الموجة، ومن شأن ذلك أن يؤدي إلى إزالة تبخير الحزمة.

بالإضافة إلى ذلك، يمكن أن يؤثر ضوء الشمس في أداء الوصلات البصرية في الفضاء الحر عندما تكون الشمس في اتجاه خطى مع الوصلة البصرية في الفضاء الحر.

2 الامتصاص الجزيئي

الامتصاص الجزيئي هو نتيجة تفاعل بين الإشعاع البصري وذرات الوسط وجزيئاته (N_2 أو H_2 أو O_2 أو CO_2 أو O_3 أو Ar ، إلخ). ويعتمد معامل الامتصاص على نوع جزيئات الغاز وتركيزها. وتحدد الاختلافات الطيفية لمعامل الامتصاص طيف الامتصاص. ومرد طبيعة هذا الطيف يعود إلى اختلافات في مستويات طاقة الغاز الممكنة التي تولدها أساساً التحولات الإلكترونية واهتزازات الذرات ودوران الجزيئات. ومن شأن ارتفاع الضغط أو الحرارة أن يوسع خطوط امتصاص الطيف من خلال استئثار مستويات أعلى من الطاقة وظاهرة "دوبلا". والامتصاص الجزيئي عبارة عن ظاهرة انتقائية تؤدي إلى نوافذ إرسال حوية شفافة نسبياً وإلى نطاقات امتصاص جوي غير شفافة نسبياً.

ونوافذ الإرسال في المدى البصري هي التالية:

- أشعة دون الحمراء مرئية وقريبة جداً: μm من 0,4 إلى 1,4
- أشعة دون الحمراء قريبة أو من النمط I: μm من 1,4 إلى 1,9 ومن 1,9 إلى 2,7
- أشعة دون الحمراء متوسطة أو من النمط II: μm من 2,7 إلى 4,3 ومن 4,5 إلى 5,2
- أشعة دون الحمراء بعيدة أو من النمط III: μm من 8 إلى 14
- أشعة دون الحمراء شديدة أو من النمط IV: μm من 16 إلى 28

للجزيئات الغازية مستويات طاقة خاصة بكل صنف ويمكن تكميتها، ويمكنها أن تمتلك الطاقة (أو الفوتونات) تحت تأثير إشعاع كهرومغناطيسي وارد والتحول من مستوى الطاقة الأولى، e_i ، إلى مستوى أعلى للطاقة، e_r . وبالتالي، يتم توهين طاقة الإشعاع بخسارة فوتون واحد أو أكثر.

يحدث هذا الإجراء فقط إذا كان تردد الموجة الواردة يقابل تماماً إحدى ترددات الرنين للجزيء المعين، على الشكل التالي:

$$(1) \quad v_0 = \frac{e_f - e_i}{h}$$

حيث:

v_0 : تردد الموجة الواردة (Hz)

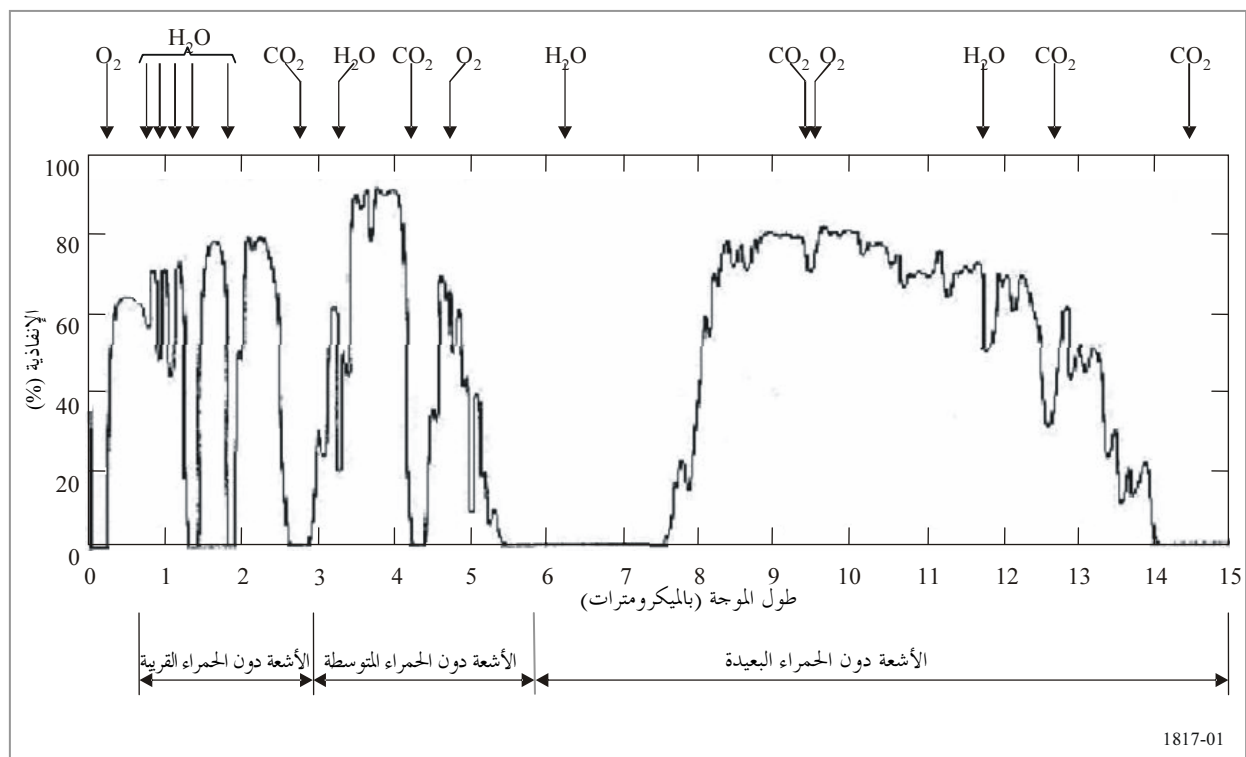
h : ثابت "بلانك"، مع $h = 6,6262 \times 10^{-34}$ جول ثانية.

والمعلمات الأساسية التي تحدد الامتصاص الذي يولّد الرنين الجزيئي هي مستويات الطاقة الممكّنة لكل صنف من الأصناف الجزيئية وإمكانية التحول من مستوى الطاقة e_i إلى مستوى الطاقة e_f وكثافة خطوط الرنين والملامح الطبيعية لكل خط.

وبشكل عام، تقوم ظاهرة "دوبلر" بتعديل ملمح كل خط امتصاص عندما تتحرك الجزيئات بالنسبة إلى الموجة الواردة ووفقاً لأنّ التصادم بسبب تفاعل الجزيئات. وتؤدي هذه الظواهر إلى توسيع طيفي للخط الطبيعي لكل جزيء. فيما يتعلق ببعض الجزيئات، مثل ثاني أكسيد الكربون (CO_2) أو بخار الماء (H_2O) أو التتروجين (N_2) أو الأكسجين (O_2)، من الممكن تمديد ملامح خط الامتصاص بفعالية بعيداً عن كل خط من الخطوط المركزية. وتؤدي هذه الخاصية إلى سلسلة امتصاص. ويبين الشكل 1 الإنفاذية الجوية الاسمية المقاسة الناجمة عن الامتصاص الجزيئي عند وصلة أفقية يصل ارتفاعها إلى 1820 متراً فوق مستوى البحر.

الشكل 1

إنفاذية الجو بسبب الامتصاص الجزيئي



3 الانشطار الجزيئي

يتبع الانشطار الجزيئي عن تفاعل الضوء مع الجسيمات الجوية التي تكون أحجامها أصغر من طول موجة الضوء الوارد. ويُساهِم انتشار جزيئات الغاز الجوي (انتشار رايلي) في التوهين الإجمالي للإشعاع الكهرومغناطيسي.

ومعامل الزوال بسبب الانتشار الجزيئي، ($\beta_m(\lambda)$) هو:

$$(2) \quad \beta_m(\lambda) = \frac{24\pi^3}{\rho\lambda^4} 10^3 \left(\frac{[n(\lambda)]^2 - 1}{[n(\lambda)]^2 + 2} \right) \left(\frac{6+3\delta}{6-7\delta} \right)$$

حيث:

$\beta_m(\lambda)$: معامل الانتشار الجزيئي (km^{-1})

λ : طول الموجة (μm)

ρ : الكثافة الجزيئية (m^{-3})

δ : عامل منع استقطاب الهواء ($\equiv 0.03$)

$n(\lambda)$: معامل انكسار الهواء.

والقيمة التقريرية لمعامل ($\beta_m(\lambda)$) هي:

$$(3) \quad \beta_m(\lambda) = A\lambda^{-4}$$

حيث:

$$(4) \quad A = 1.09 * 10^{-3} \frac{P}{P_0} \frac{T_0}{T} \quad \text{km}^{-1} \text{ m}^4$$

و

P : الضغط الجوي (mbar)

P_0 : 1013 mbar

T : درجة حرارة الجو (K)، و

T_0 : $273,15 \text{ K}$.

من الممكن إهمال الانتشار الجزيئي عند أطوال الموجات دون الحمراء، وبؤثر انتشار رايلي أساساً في أطوال الموجات فوق البنفسجية وصولاً إلى أطوال الموجات المرئية. ويعود اللون الأزرقخلفية السماء الصافية إلى هذا النوع من الانتشار.

امتصاص الهباء

4

الأهباء عبارة عن جسيمات مجهرية صلبة أو سائلة عالقة في الجو مع سرعة هبوط بطيئة جداً (مثل الجليد والغبار والدخان، إلخ.). ويتراوح حجم هذه الجسيمات عادة بين 10^{-2} و $100 \mu\text{m}$. وتشكل جسيمات الضباب والغبار وزبد الأمواج البحرية أمثلة للأهباء.

تأثير الأهباء في شروط التوهين الجوي بسبب طبيعتها الكيميائية وحجمها وتركيزها. في البيئات البحرية، تتكون الأهباء أساساً من قطرات مياه (الرغوة أو الضباب أو الرذاذ أو المطر) وبثورات الأملاح والعديد من الجسيمات القارية المنشأ. ويتوقف حجم الجسيمات القارية وكثافتها على المسافة التي تفصلها عن السواحل المجاورة وعلى الخصائص التي تميز بها هذه السواحل.

ومعامل الخmod الناجم عن امتصاص الهباء، ($\alpha_n(\lambda)$) هو:

$$(5) \quad \alpha_n(\lambda) = 10^5 \int_0^\infty Q_a \left(\frac{2\pi r}{\lambda}, n'' \right) \pi r^2 \frac{dN(r)}{dr} dr \quad \text{km}^{-1}$$

حيث:

λ : طول الموجة (μm)

$dN(r)/dr$: توزيع حجم الجسيمات لكل وحدة حجم (cm^{-4})

n'' : الجزء التخييلي لمعامل الانكسار n للهباء المعنى

r : نصف قطر الجسيمات (cm)

$Q_d(2\pi r/\lambda, n'')$: امتصاص المقطع العرضي لنطع معين من الهباء.

تنبأ نظرية "مي" (Mie) بالحقل الكهرومغناطيسي المحيّد من جانب الجسيمات الكروية المتجانسة. ويتوقف المقطوعان العرضيان للامتصاص (Q_d) والانتشار (Q_a) على حجم الجسيمات ومعامل الانكسار وطول الموجة الواردة. ويمثل هذان المقطوعان الجزء من الموجة الواردة حيث تكون القدرة (المتشورة) الممتصة متساوية للقدرة الواردة.

أما معامل انكسار الهباء فيتوقف على تركيبه الكيميائي وطول الموجة. ويشير إلى ذلك بالمعادلة $n'' = n' + n$, حيث n' هي دالة قدرة الانتشار الجسيم و n'' هي دالة امتصاص الجسيم.

في المناطق الطيفية للأشعة دون الحمراء المرئية والقرية، يكون الجزء التخييلي لمعامل الانكسار منخفضاً جداً ويمكن إهماله عند حساب التوهين (الخmod) الإجمالي. أما في حالة الأشعة دون الحمراء البعيدة، فينبعيأخذ الجزء التخييلي لمعامل الانكسار في الاعتبار.

5 انتشار الهباء

يحدث انتشار الهباء (انتشار "مي") عندما يكون حجم الجسيم من نفس حجم مقدار طول موجة الضوء الوارد. والتهين دالة للتتردد والرؤى، وترتبط الرؤى بتوزيع حجم الجسيم. وتشكل هذه الظاهرة لمعامل الأكثـر تقـيـداً لنـشر الأنـظـمة البـصـرـية في الفـضـاء الحر على مـسـافـات طـوـيـلة. وفي المـنـطـقـة البـصـرـية، تكون هذه الظاهرة أـسـاسـاً نـتيـجـة العـشاـوة وـالـضـبابـ. ويمكن أن يصل التوهين في النظام البصري إلى 300 dB/km، على نقيض منطقة الموجات المليمترية حيث يبلغ التوهين بالمطر عادةً بـضـعـفـ وـحدـات dB/km.

يحصل على معامل الزوال الناجم عن انتشار الهباء، β_n ، بالعلاقة التالية:

$$(6) \quad \beta_n(\lambda) = 10^5 \int_0^\infty Q_d\left(\frac{2\pi r}{\lambda}, n'\right) \pi r^2 \frac{dN(r)}{dr} dr \quad \text{km}^{-1}$$

حيث:

λ : طول الموجة (μm)

$dN(r)/dr$: توزيع حجم الجسيمات لكل وحدة حجم (cm⁻⁴)

n' : الجزء الفعلي لمعامل الانكسار n للهباء

r : نصف قطر الجسيمات (cm)

$Q_d(2\pi r/\lambda, n')$: امتصاص المقطع العرضي لنوع معين من الهباء.

تنبأ نظرية "مي" بمعامل الانتشار Q_d الناجم عن الأهباء، بافتراض أن الجسيمات كروية ومنفصلة بما فيه الكفاية بحيث يمكن حساب المجال المنشـر، مع افتراض الانتشار البعـيدـ (الوحـيدـ) للمـجالـ.

يتوقف المقطع العرضي للانتشار (Q_d) بشكل كبير على حجم الهباء مقارنة بطول الموجة، وهو عبارة عن دالة تستند كثيراً إلى انتقاء الترددات للجسيمات التي يقل نصف قطرها عن طول الموجة أو يكون مساوياً لها. وهو يبلغ قيمة قصوى (3,8) لنصف قطر جسيم مساوٍ لطول الموجة، ويبلغ في هذه الحالة الانتشار حداً أقصى. ومع تزايد حجم الجسيمات، يقارب المقطع العرضي للانتشار قيمة تساوي 2 تقريراً.

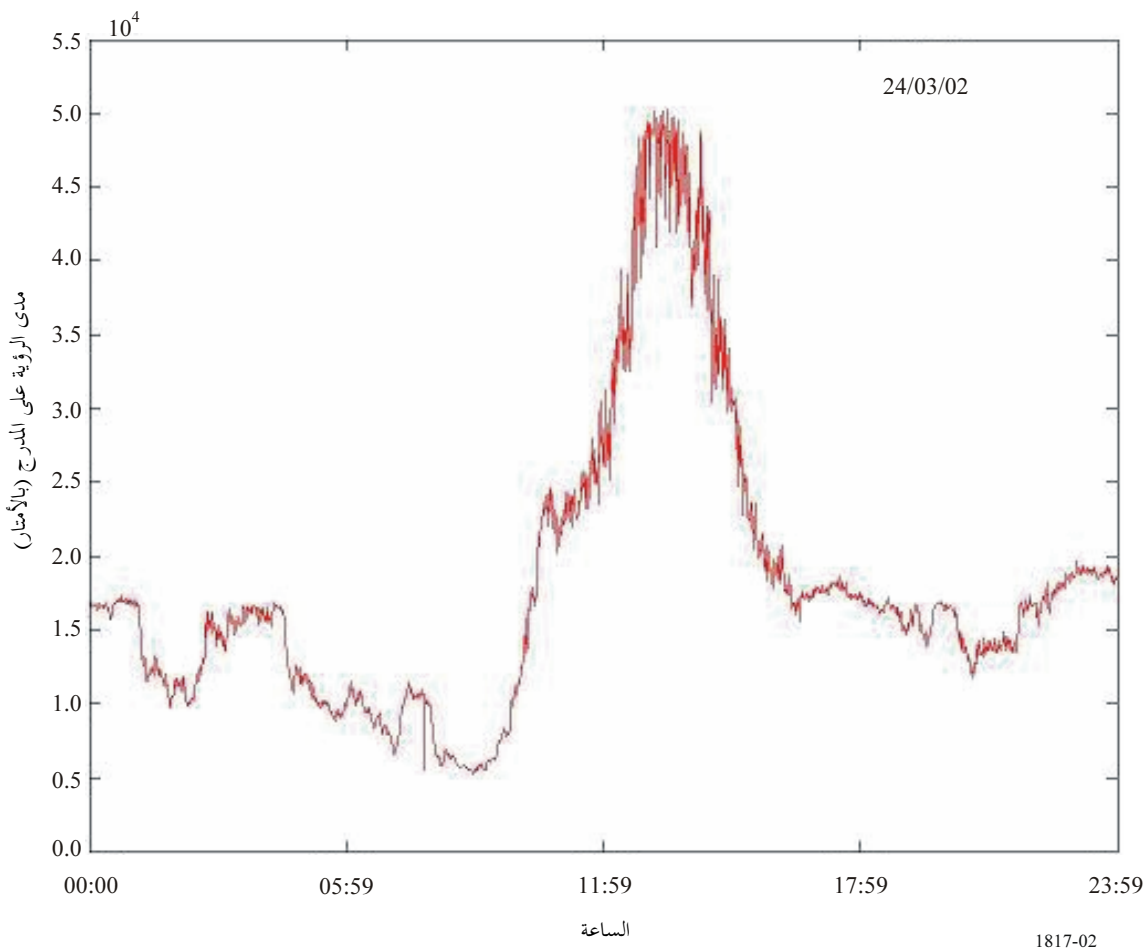
وـما أن تركيز الرذاذ وتركيبته وتوزيع حجمه يتفاوت من حيث الزمن والجنس، من الصعب التنبؤ بالتوهين من جانب هذه الألهاء. وبالرغم من أن التركيز مرتبط بشكل وثيق بالرؤية البصرية، لا يوجد توزيع واحد لحجم الجسيمات بالنسبة إلى رؤية معينة.

تصف الرؤية شفافية الجو كما يقدرها مراقب بشري. ويتم قياسها بالنسبة إلى مدى الرؤية على مدارج الطائرات (RVR) وهي عبارة عن المسافة التي ينبغي لحرمة ضوئية أن تقطعها عبر الجو إذا كان لكثافتها (أو التدفق الضوئي) أن تنخفض حتى 0,05 مثل قيمتها الأصلية. كما يمكن قياسها باستخدام مقياس إنفاذية الجو (transmissometer) أو مقياس للانتشار (diffusiometer).

يقدم الشكل 2 مثالاً عن الاختلافات في مدى الرؤية على مدرج الطائرات في منطقة La Turbie في فرنسا، خلال يوم يتمتع برؤية ممتازة.

الشكل 2

**الاختلافات في مدى الرؤية على المدرج في منطقة La Turbie بفرنسا،
خلال يوم يتمتع برؤية ممتازة**



على التبادل، من الممكن قياس الرؤية على طول مسیر الإرسال باستخدام كاميرا CCD وهدف مرجعي بالأسود والأبيض. ويعطى مدى الرؤية، V_r ، بهذه الطريقة، بالعلاقة التالية:

$$(7) \quad V_r = \frac{\ln(0.02)}{\ln(C/C_0)} d$$

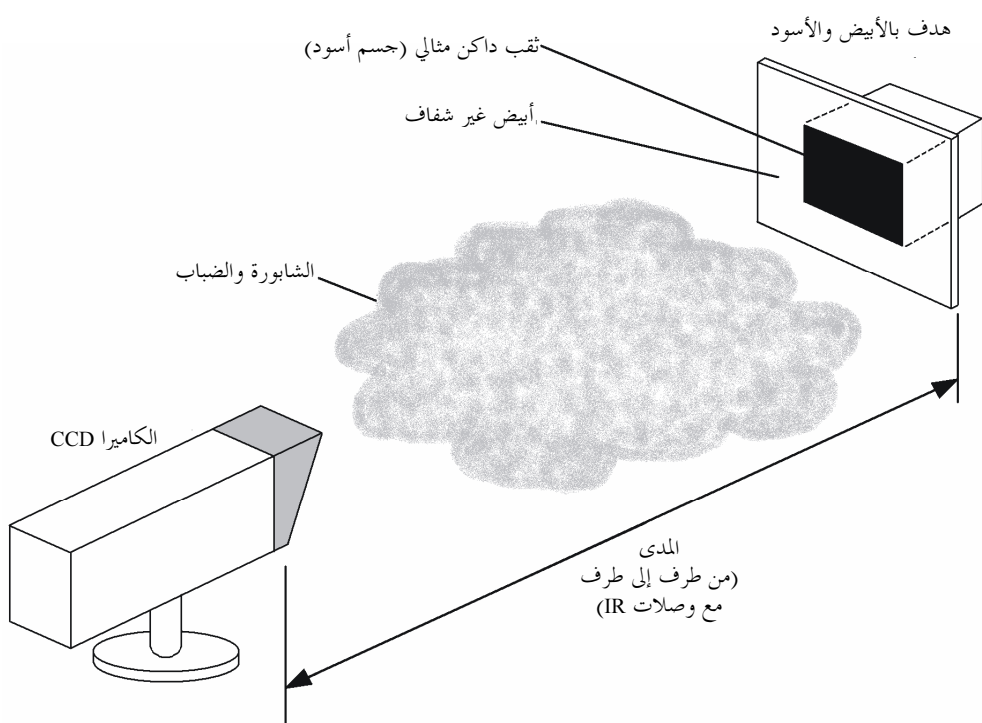
C هو التباين المقياس بين منطقتي الأسود والأبيض للهدف و C_0 هو معدل التباين الذاتي للهدف (المقياس بالقرب منه)، d هي المسافة بالنسبة إلى الهدف. تعطى القيمة C بالعلاقة:

$$(8) \quad C = \frac{L_w - L_b}{L_w + L_b} = 0.02 = e^{-b_{EX} \cdot V_r}$$

حيث العنصران L_w و L_b هما لونية الجزأين الأبيض والأسود للهدف والعنصر b_{EX} هو معامل الخمود والعنصر V_r هو مدى الرؤية. يبين الشكل 3 الهدف المثلثي مع الجزء الأسود من الهدف وسطح تجويف في لوح مطلي باللون الأبيض والسطح الداخلي للثقب المطلي باللون الأسود لتجنب أي ضوء انتشار مباشرة.

الشكل 3

قياس الرؤية التجريبية



1817-03

إن جميع الخصائص البصرية للأهباء، وتحديداً الضباب، مرتبطة بتوزيع حجم الجسيمات الذي يمكن اعتبارها المعلمة الأساسية لتحديد الخصائص المادية والبصرية للضباب.

وعادة، يتم تمثيل هذا التوزيع بالوظائف التحليلية مثل التوزيع اللوغاريتمي العادي للأهباء وتوزيع غاما المعدل للضباب. ويُستخدم التوزيع الأخير لنمدجة مختلف أنواع الضباب والسحب ويعطى بالعلاقة التالية:

$$(9) \quad N(r) = ar^\alpha \exp(-br)$$

حيث $N(r)$ هو عدد الجسيمات لكل حجم وحدة ولكل تزايد وحدة لنصف القطر r ، وتكون a و b و α معلمات تصف توزيع حجم الجسيمات.

تأخذ العقد الحاسوبية (انظر النذيل 1) في الاعتبار عادة حالتين من الجسيمات: ضباب التأفق الثقيل والضباب الإشعاعي المعتدل، يتم نمذجتها بتوزيع حجم غاما المعدل كما هو مبين أعلاه. وترد في الجدول 1 المعلمات النمطية لتوزيع غاما المعدل.

الجدول 1

معلومات متعددة لتوزيع حجم جسيمات ضباب التأثير الشفيلي والضباب الإشعاعي المعتدل

V (m)	r_m (μm)	W (g/m^3)	N (cm^{-3})	b	a	α	
130	10	0,37	20	0,3	0,027	3	ضباب التأثير الشفيلي
450	2	0,02	200	3	607,5	6	الضباب الإشعاعي المعتدل

حيث:

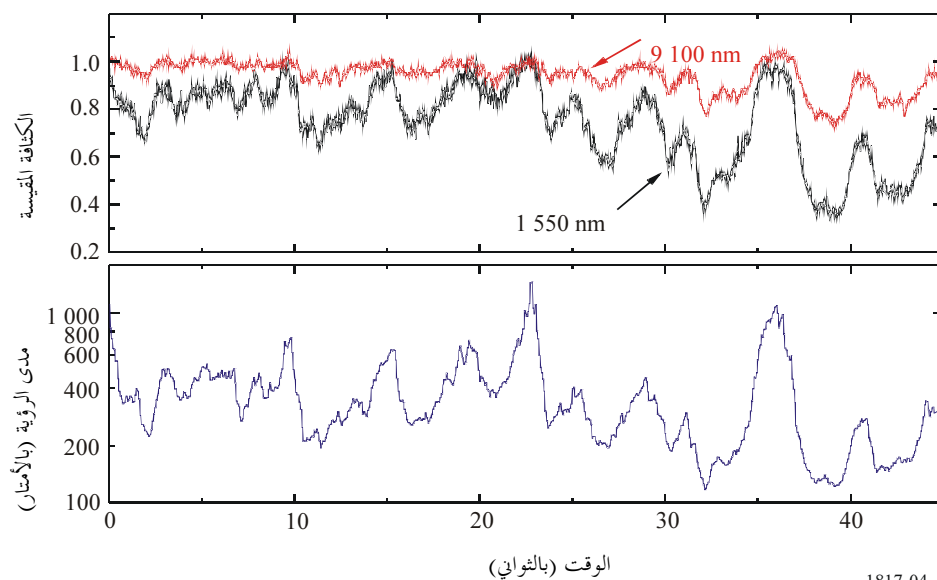
 N : العدد الإجمالي لجسيمات الماء لكل وحدة حجم (cm^3) r_m : نصف القطر المنشود (μm) الذي يبلغ عنده التوزيع حداً أقصى W : محتوى الماء السائل (g/m^3) V : الرؤية المصاحبة لنوع الضباب (m).

يمكن أن يشهد مستوى الإشارة المستقبلة تقلبات هامة قصيرة الأجل بسبب التغيرات التي تتعرض لها الرؤية. وبين الشكل 4 الكثافات المقيسة المستقبلة للوصلات IR البعيدة والمتوسطة، إلى جانب رؤية الوصلة خلال مهلة زمنية مدتها دقيقة واحدة.

الشكل 4

الكثافات المستقبلة في الوقت الفعلي للوصلات IR البعيدة والمتوسطة (a)

ومدى الرؤية (b) المسجل في آن معاً خلال مدة دقيقة واحدة

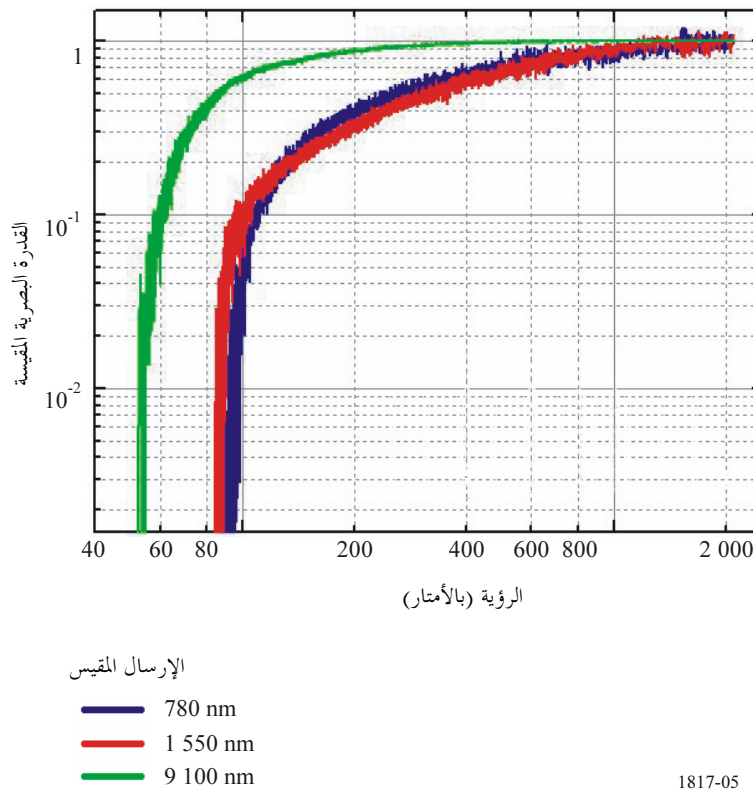


1817-04

يبين الشكل 5 القدرة البصرية المقيسة كدالة لمدى الرؤية، مقاسة عند أطوال موجات تبلغ 780 nm و 1 550 nm و 900 nm.

الشكل 5

القدرة البصرية المستقبلة المقيسة مقارنة برأوية الوصلة من أجل ثلاثة أطوال موجات مختلفة



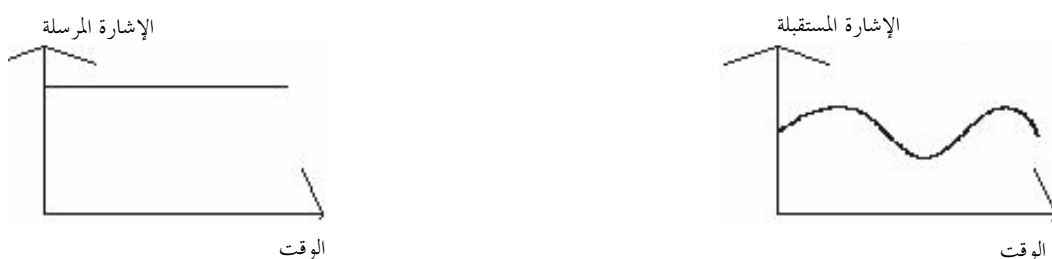
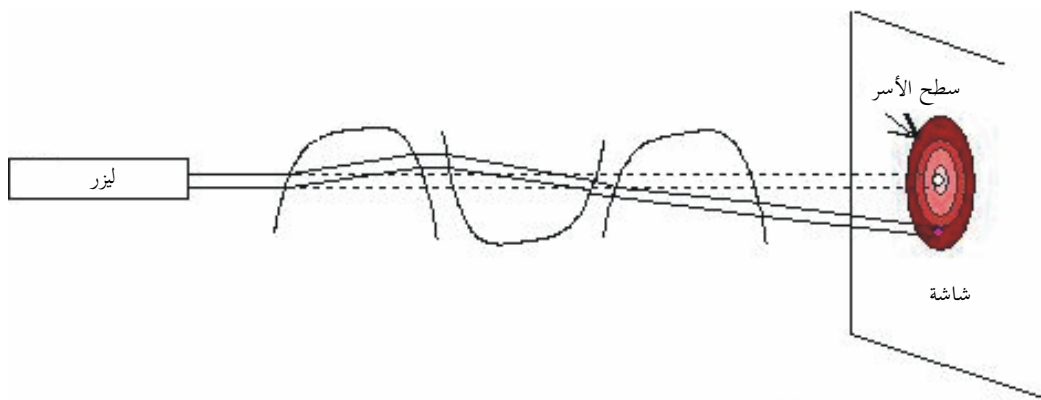
في العديد من حالات الضباب الكثيف، يكون توزيع الجسيمات غير منتظم. في هذه الحالة، يمكن أن توفر الوصلات IR البعيدة تيسير عالٍ، لأن مقدار الضوء الذي يبلغ $10 \mu\text{m}$ يمكنه أن يتغلب على الخسارة في الضباب الكثيف وأن يحافظ على تيسير الوصلة في حين أنه يتعدى ذلك على الضوء بطول موجة أقصر.

6 التأثير

يمكن تشكيل الخلايا الموزعة عشوائياً وذات معامل انكسار داخل وسط الانتشار تحت تأثير الاضطراب الحراري. ويمكن لهذه الخلايا أن تسبب في الانتشار وتعدد المسيرات والتفاوت في زاوية الوصول، مما يتسبب في تقلب مستوى الإشارة المستقبلة على ترددات تتراوح بين 0,01 و 200 Hz. وبالمثل، يتسبب تفاوت الجبهة الموجية بتغيير الحزمة وفك تبئيرها اللذين يختلفان باختلاف الرمن. ويطلق على مثل هذه التفاوتات التأثير. ويتوقف اتساع التأثير وتردداته على حجم الخلايا مقارنة بقطر الحزمة. وتشير الأشكال التالية إلى هذه الظاهرة بالإضافة إلى تغيرات (الاتساع والتعدد) الإشارة المستقبلة. وتحرف الحزمة (الشكل 6) عندما تكون أوجه التغير كبيرة مقارنة مع المقطع العرضي للحزمة وتوسيع الحزمة (الشكل 7) عندما تكون أوجه التغير صغيرة مقارنة مع المقطع العرضي للحزمة. يتبع التأثير عن مزيج من التغيرات (الشكل 8).

الشكل 6

انحراف الخزمه تحت تأثير الخلايا المضطربة التي يفوق حجمها قطر الخزمه

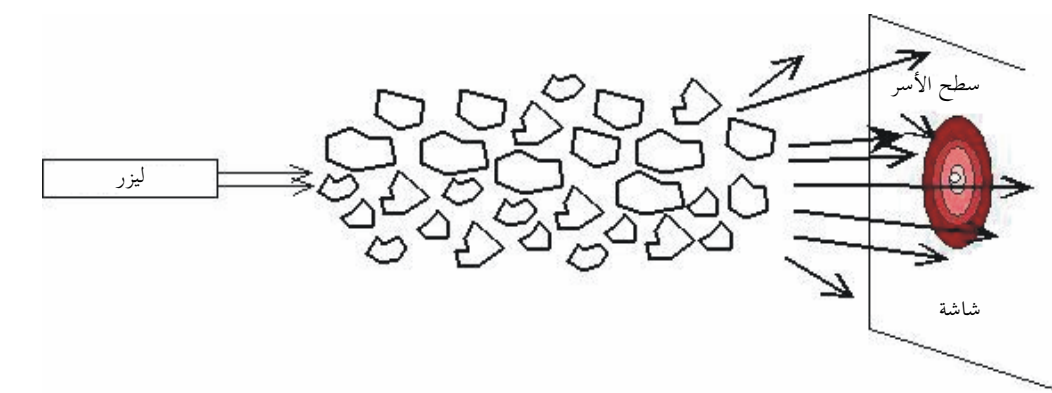


الشكل 7

1817-06

انحراف الخزمه تحت تأثير الخلايا المضطربة التي يقل حجمها عن قطر الخزمه

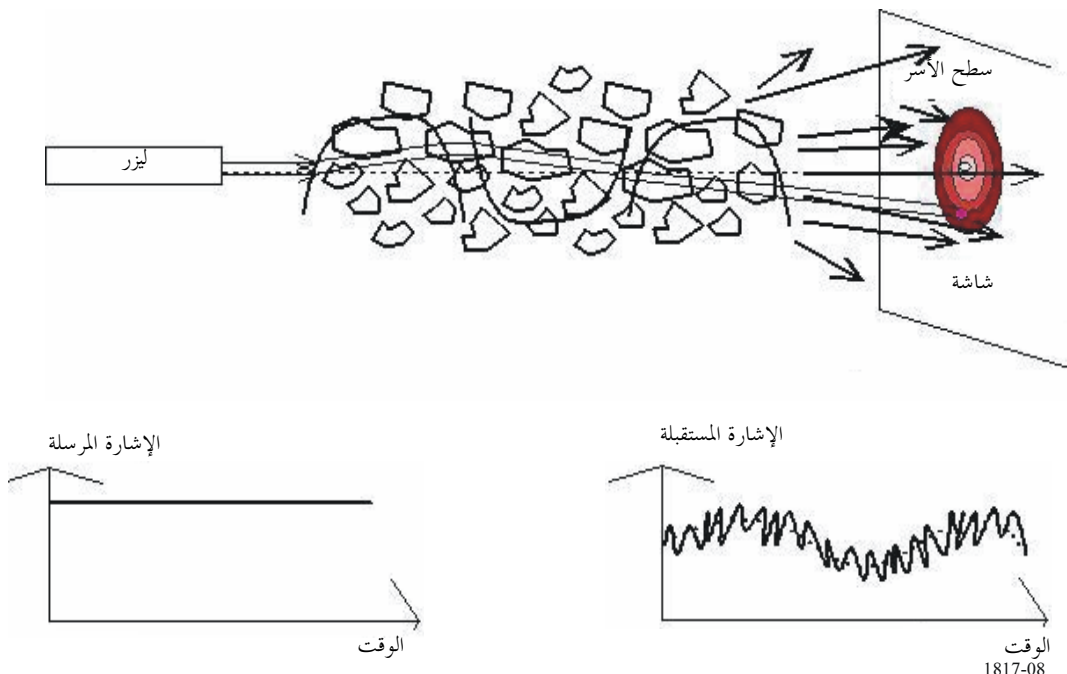
(توسيع الخزمه)



1817-07

الشكل 8

آثار مختلف أحجام التغيرات على انتشار الخزمة بالليزر (التلاؤ)



التوهين بالمطر

7

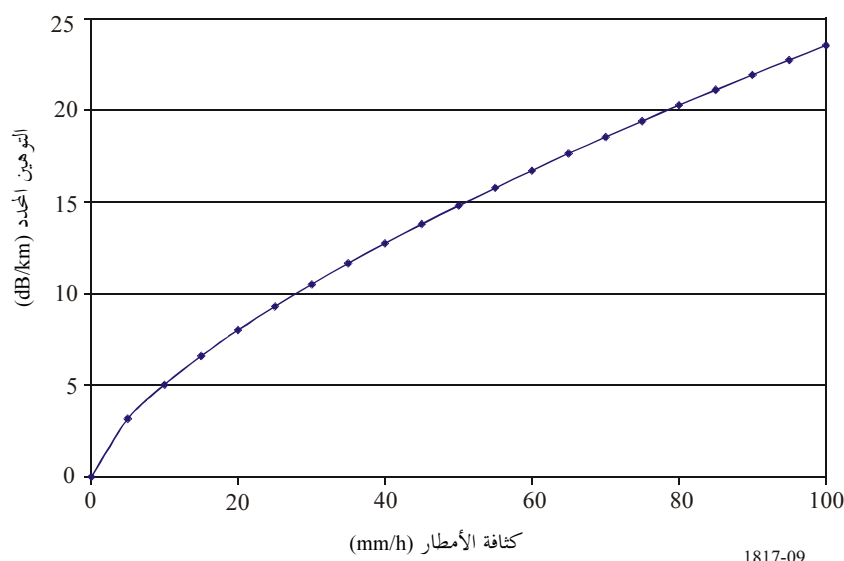
يتم عموماً تقرير التوهين المحدد (dB/km) بسبب المطر بالعلاقة:

$$(10) \quad \gamma_{rain} = k \cdot R^\alpha$$

يوضح الشكل 9 التغيرات النمطية للتوهين المحدد (dB/km) بسبب الأمطار المصودة في المدى البصري ومدى الأشعة دون الحمراء.

الشكل 9

التوهين المحدد بسبب الأمطار المصودة في المدى البصري ومدى الأشعة دون الحمراء



توفر التوصية ITU-R P.837 معدل سقوط الأمطار، R_p (mm/h)، الذي تم تحاوزه لنسبة مئوية معينة من المتوسط السنوي، p ، ولأي موقع من الواقع.

8 التوهين بالثلج

يعطى التوهين المحدد (dB/km) بسبب الثلوج كدالة لمعدل سقوط الثلوج بالعلاقة التالية:

$$(11) \quad \gamma_{snow} = a \cdot S^b$$

حيث:

γ_{snow} : التوهين المحدد (dB/km) بسبب الثلوج

S : معدل سقوط الثلوج (mm/h)

a و b : دالتا طول الموجة، λ (nm)، وتردان في الجدول 2

الجدول 2

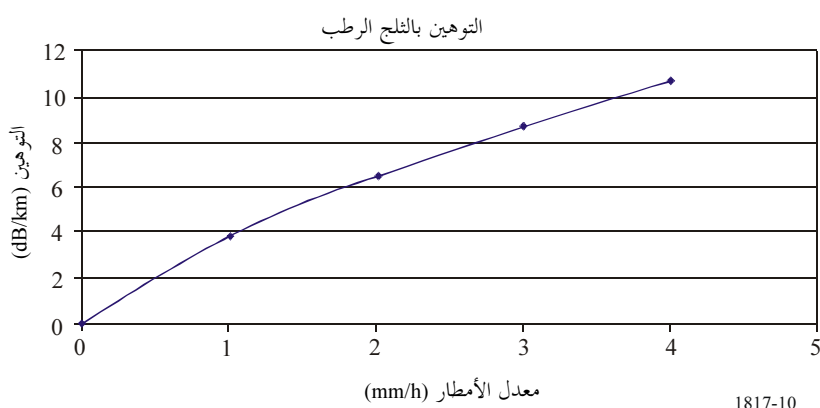
المعلمتان "a" و "b" للثلج الرطب والجاف

b	a	
0,72	$0,0001023\lambda_{nm} + 3,7855466$	ثلج الرطب
1,38	$0,0000542\lambda_{nm} + 5,4958776$	ثلج الجاف

يرد في الشكلين 10 و 11 التوهين المقدر كدالة لمعدل تساقط الثلوج λ الذي يبلغ 1,55 μm.

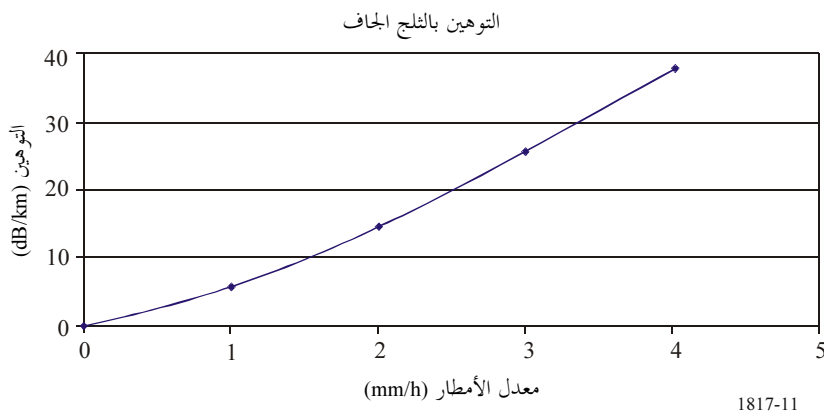
الشكل 10

التوهين بالثلج الرطب مقابل معدل تساقط الثلوج $\lambda = 1,55 \mu m$



الشكل 11

التوهين بالثلج الجاف مقابل معدل تساقط الثلج $\lambda = 1,55 \mu\text{m}$



9 ظاهرة الضوء الخيط

يحدث الاقتران الشمسي عندما تكون الشمس أو صورة منعكسة منها داخل مجال الرؤية الآتية لمستقبل بصري (IFOV) أو بالقرب منه. ويكون المجال IFOV المستقبل عادة بحجم انحراف الإرسال على الأقل. والمدفأ هو حساب احتمال أن يكون موقع الشمس موازياً للوصلة البصرية، وتكون الطاقة الشمسية المتغلغلة في المستقبل أكبر من الطاقة التي يرسلها المرسل. وهناك طريقة لتقدير هذا الأثر في مشروع توصية جديدة ITU-R P.1814.

10 التوزيع التراكمي للتوهين

توضّح في الشكل 12 التوزيعات التراكمية للتوهين المقاس عند 850 nm على مسیر يبلغ 850 متراً بسبب جميع الظواهر الجوية المائية مثل الضباب أو المطر أو الثلوج أو الثلوج في براغ، الجمهورية التشيكية، خلال فترة سنة واحدة. وقد تم تصنيف جميع أحداث التوهين وفقاً لظروف الأحوال الجوية التي تسبّبت بإحداث ثبو معين. وقد تم تحديد ظروف الأرصاد الجوية باستخدام صورة للمنطقة النقطة بالكاميرا بين المرسل والمستقبل واستخدام البيانات التي تم الحصول عليها من محطة أوتوماتية للأرصاد الجوية موجودة بالقرب من المستقبل. وكانت أحداث الثبو التي سببها الضباب أو الثلوج أكثر خطورة.

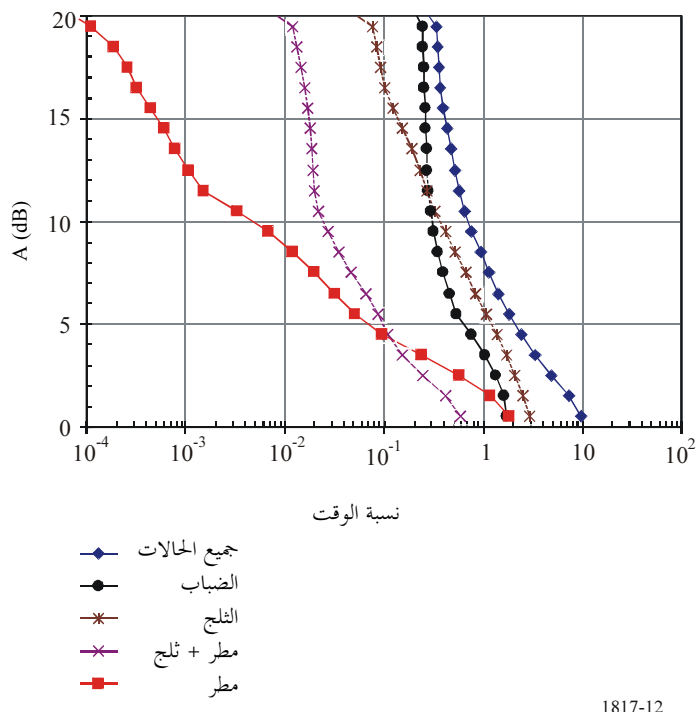
11 الأنظمة الهجين/البصرية في الفضاء الحر

يقارن الشكل 15 قياسات التوهين عند 58 GHz ووصلة بصرية على المسير نفسه بسبب جميع ظواهر الأرصاد الجوية والمطر فقط. وكان للمسير البصري توهين أقل من مسیر الموجة المليتمترية أثناء تساقط الأمطار. ويمكن أن تحسّن الأنظمة الراديوية/البصرية المجنين (RF/FSO) أداء الوصلة FSO بالنظر إلى الواقع مفاده أن المطر يوّهن المسير RF ولكنّه لا يتأثّر بالضباب. وعلى العكس، يقوم الضباب بتوهين المسير البصري لدرجة كبيرة ولكنه لا يتأثّر بالمطر نسبياً.

تعطي التوزيعات التراكمية السنوية المشار إليها في الشكل 13 تقديرًا لأداء النظام RF/FSO المجنين الافتراضي. ويعتبر النظام هجين حيثما يكون للمسيرات الراديوية والبصرية هامش الخبو نفسه، $F_M = 20 \text{ dB}$. وُتُستخدم تقنية تنوع بسيطة ويكون إما الجزء الراديوي أو البصري المجنين نشطاً استناداً إلى القيم الآتية للتوهين المحسن الراديوي والبصري. ويُفترض أن الجزء RF من النظام يخفّف أحداث انعدام المطر، أما الجزء FSO فيخفّف أحداث تساقط المطر. ويتم تقدير نسبة التيسير (AR) للنظام المجنين من إحصاءات المطر للجزء FSO، كما يتبيّن من الجدول 3.

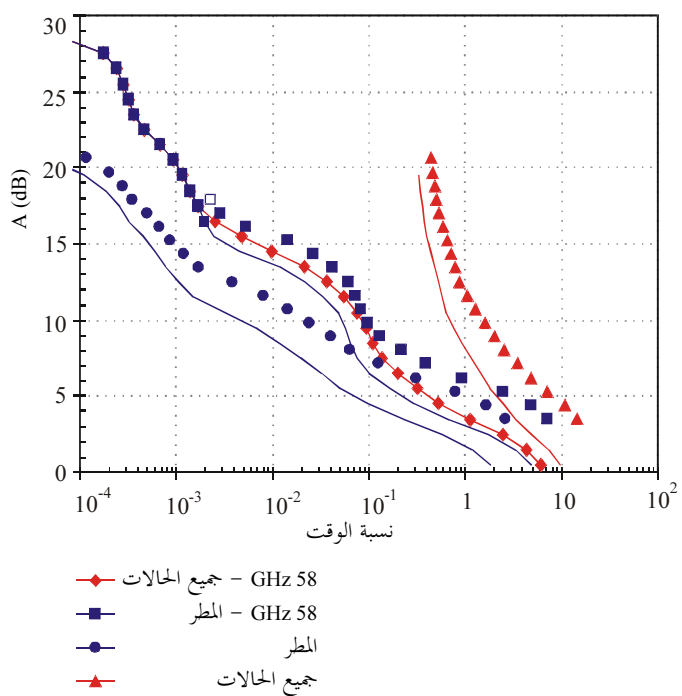
الشكل 12

التوزيعات التراكمية للتوجهين لشروط المسيرات المختلفة



الشكل 13

التوجهان RF و FSO يتجاوزان نسب مئوية مختلفة من الوقت



الجدول 3

مقارنة معدل التيسير للنظام FSO و RF/FSO والأنظمة الافتراضية

نسبة التيسير %	النظام
99,7	الجزء FSO (nm 850)
99,999	الجزء RF (GHz 58)
99,9999	النظام RF/FSO

12 قياس الرؤية

تحدد الرؤية V (km) باعتبارها المسافة إلى الغرض حيث ينخفض بيان الصورة إلى 2% من قيمته الأصلية. وتقاس الرؤية عند nm 550 أي طول الموجة الذي يقابل الكثافة القصوى للطيف الشمسي ويتم الحصول عليها بعلاقة "كوشمايدر":

$$(12) \quad V(\text{km}) = \frac{3.912}{\gamma_{550 \text{ nm}}}$$

حيث γ هو معامل خمود الوسط (الجو والرذاذات).

يستخدم نوعان من المحسسات لقياس الرؤية: مقياس إنفاذية الجو (transmissometer) و مقياس الانثار (diffusiometer).

ترد في الجدول التالي مدونة الرؤية الدولية التي تظهر التوهين (dB/km) لعدة حالات جوية:

حالات الطقس التي تتراوح من فترات من الصحو التام إلى الضباب الكثيف.

الأمطار (mm/h): الرذاذ والمطر والعواصف.

الرؤية تتراوح بين 50 متراً و 50 كيلو متراً.

حالات الطقس	الأمطار mm/h	مدونة الرؤية الدولية	
		الرؤية (m)	التوهين (dB/km)
ضباب كثيف	ثلج	0	
ضباب سميك		50	315
ضباب معتدل		200	75
ضباب خفيف		500	28.9
ضباب خفيف جداً		عاصفة 100	18.3
غشاوة خفيفة جداً		1 000	13.8
غشاوة خفيفة جداً		مطر قوي 25	6.9
هواء نقي		2 000	6.6
هواء نقي جداً		مطر متوسط 12.5	4.6
		4 000	3.1
		مطر خفيف 2.5	2
		10 000	1.1
		رذاذ 0.25	0.6
		20 000	0.54
		23 000	0.47
		50 000	0.19

التدليل 1 للملحق 1

غمضة الحاسوب

انطلاقاً من الوصف النظري للظاهرة المادية، تم وضع عدد من البرامج الخاصة بنمذجة الحاسوب لتحديد معامل الإرسال الجوي. وهناك نماذج كثيرة متاحة حالياً: برامح LOWTRAN و NAM (نموذج الهباء البحري) و NOVAM و WKDAER في البيئات البحرية، إلخ. البرنامج NOVAM مدرج في MODTRAN و FASCOD، إلخ.

يتضمن البرنامج LOWTRAN نماذج عن توهين الإشارة البصرية بواسطة الأهباء. وهو يقوم على النموذج من خط تلو الخط ومتاح من مؤسسة ONTAR (الولايات المتحدة الأمريكية).

ينطبق برنامج NAM تحديداً على البيئات البحرية. وهو يقوم على نموذج GATHMAN لتوزيع الهباء.
أما برنامج NOVAM فيأخذ في الاعتبار جسيمات الغبار القارية المنشأ.

يمكن تكيف البرنامج WKDAER مع بيئة محددة.

يستخدم البرنامج FASCOD نموذجاً من خط تلو خط ويأخذ في الاعتبار جميع المعلومات التي تتسم بها خطوط الامتصاص (الكثافة واحتمال الانتقال، إلخ). يقوم هذا البرنامج على قاعدة البيانات HITRAN الخاصة بالامتصاص الجزيئي عالي الاستabilitة. والمعلومات الخطية الأساسية المدرجة في HITRAN هي تردد الطين والكثافة الخطية عند 296 K واحتمال الانتقال ونصف عرض الخط عند 296 K والطاقة المنخفضة أو حالة الجزيئ الأساسي.

هناك ثلاثة نماذج مترابطة وضعها مختبر الجيوفيزياء التابع للقوات الجوية (AFGDL) مع العديد من الاستبيانات الطيفية:

- LOWTRAN 7 - إرسال باستabilitة منخفضة - تبلغ الاستabilitة الطيفية 20 cm^{-1} (مكافئ لقيمة 600 GHz) في خطوطات تبلغ 5 cm^{-1} .

- MODTRAN 3 - إرسال باستabilitة متوسطة - تبلغ الاستabilitة الطيفية 2 cm^{-1} (مكافئ لقيمة 60 GHz) في خطوطات تبلغ 1 cm^{-1} .

- HITRAN 2004 - إرسال باستabilitة عالية - تبلغ الاستabilitة الطيفية $0,001 \text{ cm}^{-1}$ (مكافئ لقيمة 30 MHz).

تتضمن جميع النماذج معلومات طيفية بشأن العديد من الأصناف الجوية بما في ذلك H_2O و O_3 و CO و CH_4 و O_2 و NO_2 و SO_2 و HNO_3 . (تتضمن قاعدة البيانات HITRAN تفاصيل بشأن أكثر من مليون خط امتصاص تتعلق بزهاء 37 جزيئاً). بالإضافة إلى ذلك، تتضمن النماذج الثلاثة تواصل H_2O عبر الطيف بأسره وتواصل N_2 في المنطقة التي تتراوح بين 2 000 و 2 700 cm^{-1} والانتشار الجزيئي، إلى جانب الامتصاص والانتشار الناجم عن الهباء والضباب والمطر والسحب.